

بررسی تشدید تصادفی با نوافه گوسی در سیستمهای دوپایا

امین کیانی و فرهاد شهربازی

دانشکده فیزیک، دانشگاه صنعتی اصفهان

(دریافت مقاله: ۸۶/۴/۳؛ دریافت نسخه نهایی: ۸۷/۲/۲۶)

چکیده

تشدید تصادفی پدیده‌ای است که در آن پاسخ یک سیستم غیر خطی به سیگнал ضعیف اولیه، توسط یک شدت خاص از نوافه بهینه می‌شود. در این مقاله اثر نوافه تصادفی گوسی با همبستگی بلند برد توانی را بر سیستمهای دوپایا که تشدید تصادفی از خود نشان می‌دهند بررسی می‌کنیم. نشان می‌دهیم، همبستگی باعث می‌شود که اولاً نوافه با انحراف معیار کمتر، در این سیستم تشدید ایجاد می‌کند، ثانیاً دامنه تشدید کاهش می‌یابد.

واژه‌های کلیدی: تشدید تصادفی، نوافه همبسته، سیستمهای دوپایا

۱. مقدمه

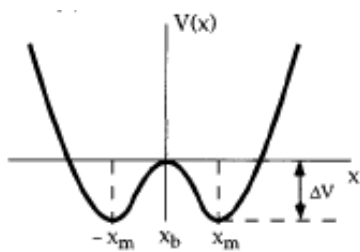
می‌شود. در این مدل، نیروی تصادفی وارد بر ذره (نوافه)، باعث گذار آن از یک کمینه چاه پتانسیل به کمینه دیگر می‌گردد. اگر به سیستم یک نیروی تناوبی خیلی ضعیف به صورت $A \cos(\omega_s t + \varphi)$ اضافه شود، مطابق شکل ۱ کمینه‌های چاه پتانسیل به صورت تناوبی (متناسب با فرکانس نیروی اعمال شده) به سمت بالا و پایین جابه‌جا می‌شود. بدین ترتیب چاه پتانسیل از تقارن خود خارج می‌شود. این نیروی تناوبی ضعیفتر از آن است که بتواند باعث گذار ذره نوافه در سیستم می‌تواند عامل گذار ذره بین این دو کمینه باشد. البته گاهی نوافه با نیروی تناوبی ضعیف اعمال شده به سیستم، همگام شده که این همگام شدن آماری بین نیروی تناوبی و نیروی تصادفی هنگامی اتفاق می‌افتد که میانگین زمانی که ذره در یکی از کمینه‌های چاه پتانسیل به سر می‌برد تقریباً برابر با نصف دوره تناوب نیروی تناوبی باشد(شکل ۱). به طور

به طور کلی، نوافه به عنوان یک عامل مزاحم و نا منظم شناخته می‌شود که به طور کامل تحت کنترل نمی‌باشد. از آنجا که جدا کردن یک سیستم از محیط خود به طور ایده‌آل امکان‌پذیر نیست، وجود نوافه در سیستمهای فیزیکی اجتناب ناپذیر است. گاهی اضافه کردن نوافه به یک سیستم دینامیکی غیر خطی باعث می‌شود که سیستم منظم‌تر رفتار کند. منظم شدن رفتار سیستم دینامیکی غیرخطی بر اثر اضافه شدن نوافه را تشدید تصادفی^۱ گویند. به عبارت دیگر، اثر تشدید تصادفی را می‌توان به صورت پاسخ منظم سیستم به یک شدت محدود و غیرصرف نوافه، بیان کرد.

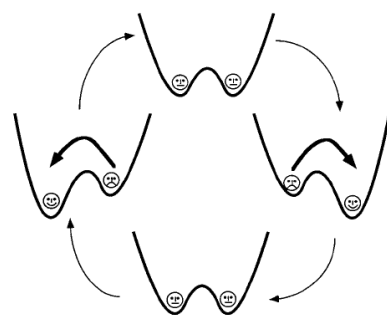
عموماً به عنوان یک تصویر شهودی از تشدید تصادفی به حرکت یک ذره براونی در پتانسیل متقارن دوپایا^۲ اشاره

۱. Stochastic resonance

۲. Bistable Systems



شکل ۲. پتانسیل دوپایا با فرم کلی $ax^4 - bx^2$ ، که کمینه‌های آن در $\pm x$ قرار گرفته‌اند.



شکل ۱. نمایی کلی از تشدید تصادفی در پتانسیل دوپایا.

بسیاری از سیستمهای زیستی گزارش شده است. برای مثال این نوع نوفه در سیستم حسی گریه^۲ [۵] و سیستم عصبی خودکار انسان^۳ [۶] مشاهده شده است. همچنین مرجع [۷]، به بررسی تشدید تصادفی در سیستمهای با استفاده از نوفه رنگی و غیر گوسی پرداخته است. از طرفی در تمامی این مراجع [۸ و ۹] با مطالعه رفتار سیگنال به نوفه، تشدید تصادفی در مقابل تغییرات شدت نوفه و همبستگی آن بررسی شده است. بنابراین به نظر می‌رسد که نوفه گوسی $\frac{1}{f^\beta}$ نقش مهمی در تشدید تصادفی بازی می‌کند [۹ و ۱۰].

در این مقاله اثر نوفه گوسی $\frac{1}{f^\beta}$ به ازای $1 \leq \beta \leq 0$ در ایجاد تشدید تصادفی در سیستمهای دوپایا بررسی می‌شود و در آن به تجزیه و تحلیل این مطلب می‌پردازیم که میزان همبسته بودن نوفه چقدر می‌تواند در تشدید تصادفی اثر داشته باشد، سپس تسایج به دست آمده را با استفاده از تحلیلی که براساس یک سری تقریبها و مدل سازیها پایه ریزی شده است، مقایسه می‌کنیم [۱۱].

۲. مدل کلی

با توجه به شکل ۲، ذرهای به جرم m در یک چاه پتانسیل دوگانه متقابران (دو پایا)، تحت تأثیر شدید نیروی اصطکاک و نیروی تصادفی (t) قرار دارد. معادله حرکت ذره در این پتانسیل به صورت $(t) \ddot{x} + V'(x) - \gamma \dot{x} = -m \ddot{x}$ است. با توجه به این که نیروی اصطکاک بزرگ است می‌توان از جمله \dot{x} در مقابل سایر

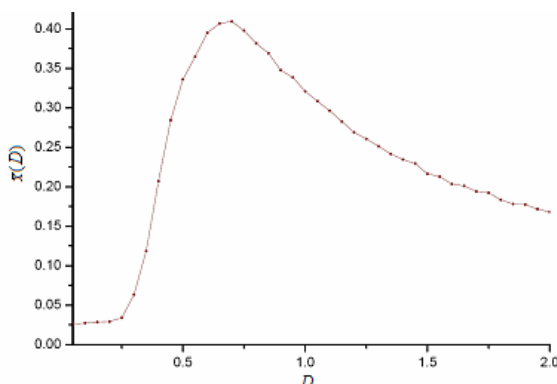
خلاصه، تشدید تصادفی در چاه پتانسیل دوپایا هنگامی اتفاق می‌افتد که نوفه با نیروی تناوبی ضعیف همگام شود. برای اولین بار در سال ۱۹۸۱، بنزی^۱ و همکارانش اثر تشدید تصادفی را به عنوان یک مدل فیزیکی برای توجیه عصر یخ‌بندان به کار برdenد [۱]. این مدل یک توضیح قابل قبول برای تحول آب و هوایی در طول ۷۰۰۰۰۰ سال گذشته اوائی می‌کند. گزارش‌های زمین‌شناسی نشان می‌دهد که در طول این مدت تقریباً به طور تناوبی هر ۱۰۰۰۰۰ سال یک بار، میانگین دمای زمین کاهش چشمگیری داشته است (یعنی حدود ۷ دوره یخ‌بندان). در این مدل، نوسانات کوچک خروج از مرکز مداری زمین (ناشی از اختلالهای گرانشی با دوره تناوب 10^5 سال) به عنوان نیروی تناوبی ضعیف و تغییرات ناگهانی آب و هوایی (مثل تغییرات آب و هوایی ناشی از تغییرات در تابش خورشید) به عنوان نیروی تصادفی درنظر گرفته می‌شود. از طرفی، سیستم آب و هوایی زمین همان چاه پتانسیل دوپایا است که یکی از کمینه‌های آن، مربوط به دمای زمین در عصر یخ‌بندان است.

تشدید تصادفی کاربردهای دیگری نیز دارد، از جمله در سیستمهای اپتیکی نظیر تله اپتیکی [۲]، سیستمهای الکترونیکی و مغناطیسی نظیر تشدید پارامغناطیس الکترونی [۳]، در سیستمهای عصبی و سیستمهای زیستی نظیر کانالهای یونی [۴]. تاکنون در اکثر موارد در تشدید تصادفی از نوفه سفید (یعنی نوفه بدون همبستگی زمانی) استفاده شده است. از طرفی امروزه هم، نوفه رنگی $\frac{1}{f^\beta}$ (یعنی نوفه با همبستگی بلند برد توانی) در

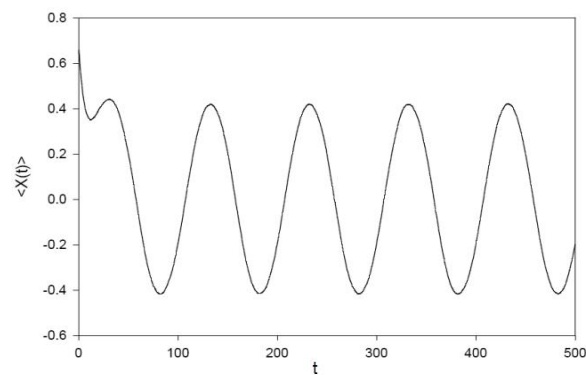
۲. Cat sensory system

۳. Human autonomic nervous system

۱. Benzi



شکل ۲. نمودار $(\bar{x}(D))$ بر حسب شدت نوفه برای نوفه سفید، پتانسیل $V(x) = x^4 - 2x^2$ و نیروی تناوبی $A_s \sin(\omega_s t)$ با دامنه $A_s = \frac{\pi}{100}$ و $\omega_s = \frac{2\pi}{100}$



شکل ۳. نمودار میانگین $(\bar{x}(t))$ بر حسب t برای نوفه سفید و پتانسیل $V(x) = x^4 - 2x^2$ و نیروی تناوبی $A_s \sin(\omega_s t)$ با دامنه $A_s = \frac{\pi}{100}$ و $\omega_s = \frac{2\pi}{100}$

$$\langle x(t) \rangle = \bar{x}(D) \cos(\omega_s t - \varphi), \quad (2)$$

به دست می آید [۱۳].

$$\text{که } \bar{x}(D) = \frac{A_s x_m}{D} \frac{2W_k}{\sqrt{4W_k^2 + \omega_s^2}} \text{ دامنه میانگین } x(t) \text{ و } \varphi(D) = \tan^{-1}\left(\frac{\omega_s}{2W_k}\right).$$

در حد مجانية اثر شرایط اولیه از بین می رود، به عبارت دیگر در این حد قسمت گذرای نمودار میانگین $(\bar{x}(t))$ در نظر گرفته نمی شود.

یکی از راههای تعیین شدت مناسب برای ایجاد تشدید تصادفی با نوفه سفید، بررسی دامنه میانگین $x(t)$ یعنی $(\bar{x}(D))$ است. در واقع آن شدتی از نوفه که $(\bar{x}(D))$ را بیشینه می کند، شدت مورد نظر برای ایجاد تشدید تصادفی است. با توجه به شکل ۴، $(\bar{x}(D))$ به پاسخ تناوبی سیستم که می تواند به وسیله تغییرات شدت نوفه ایجاد شود، بستگی دارد. $(\bar{x}(D))$ در ابتدا با افزایش شدت نوفه، افزایش می یابد تا این که به یک بیشینه برسد و از آنجا به بعد به ازای افزایش شدت نوفه کاهش می یابد.

نکته دیگر آن که، با کاهش فرکانس نیروی تناوبی موقعیت این قله به سمت نوشهای با شدت کمتر میل می کند. در این مدل شدتی که در آن تشدید تصادفی رخ

جملات صرف نظر کرد. با باز مقیاس بندی سیستم به صورت $t \rightarrow \gamma t$ رابطه حرکت ذره در چاه پتانسیل به شکل $(\dot{x} = -V'(x) + \xi(t))$ به دست می آید. نیروی تصادفی وارد بر ذره، باعث گذار آن از یک کمینه چاه پتانسیل به کمینه دیگر چاه پتانسیل می گردد. نرخ این گذارها به صورت تقریبی توسط

$$W_k = \frac{1}{2\pi} \sqrt{|V''(x_b)| |V''(x_m)|} e^{-\frac{\Delta V}{D}}, \quad (1)$$

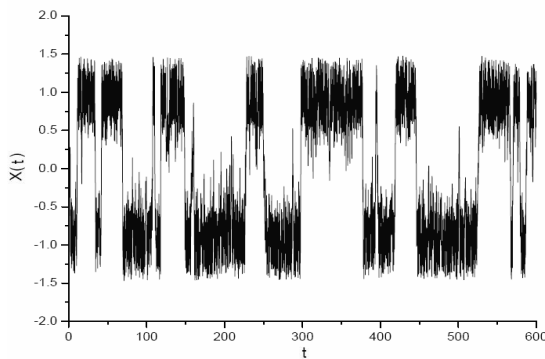
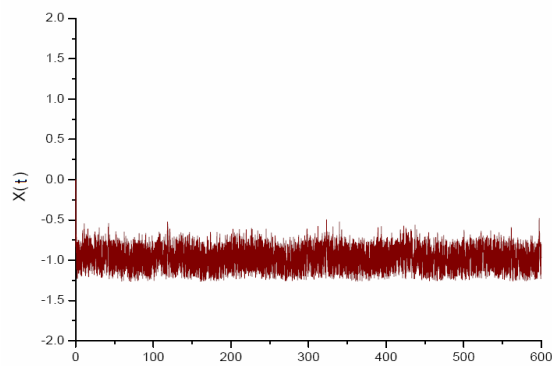
داده می شود [۱۱]. در رابطه بالا D شدت یا واریانس نوفه و ΔV ارتفاع سد پتانسیل است که دو کمینه چاه پتانسیل را از هم جدا می کند. اگر به سیستم یک نیروی تناوبی خیلی ضعیف به صورت $A_s \cos(\omega_s t + \varphi)$ اضافه کنیم، خواهیم داشت [۱۳]:

$$\dot{x}(t) = -\frac{dV(x)}{dx} + A_s \cos(\omega_s t + \varphi) + \xi(t),$$

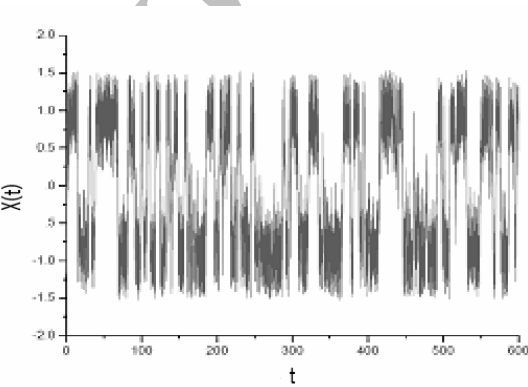
در این رابطه، $V(x) = -\frac{1}{2}x^2 + \frac{1}{4}x^4$ و $\xi(t)$ نیروی تصادفی یا نوفه سفید است.

پتانسیل $V(x)$ دارای دو کمینه در نقاط $x = -1$ و $x = +1$ و یک بیشینه در $x = 0$ است. در غیاب نیروی تناوبی، مکان ذره در این پتانسیل حول مقدارهای پایدار افت و خیز می کند، به طوری که میانگین (\bar{x}) برابر با صفر خواهد شد، اما در حضور نیروی تناوبی، میانگین (\bar{x}) غیر صفر بوده و به صورت دوره ای تغییر می کند. بنابراین در حد مجانية میانگین (\bar{x}) از رابطه زیر

۱. Kramers

شکل ۵. ب نمودار $x(t)$ بر حسب t برای $D \equiv D_{SR}$ شکل ۵. الف نمودار $x(t)$ بر حسب t برای $D < D_{SR}$

بیفتند. بنابراین در اکثر موارد در یک دوره تناوب نیروی تناوبی، ذره از حالت ۱ به حالت ۲ و بالعکس گذار می‌کند. گذار بین دو حالت ۱ و ۲ اغلب در زمانهای اتفاق می‌افتد که نرخ گذار در این زمانها مقدار بیشینه خود را داشته باشدند. در D_{SR} ، میانگین زمان حضور ذره در هر کدام از حالتها تقریباً با هم مساوی بوده و برابر با نصف دوره تناوب نیروی تناوبی است. در شکل ۵-ج هم، شدت نوفه به قدری زیاد شده است که علاوه بر این نوفه هیچ تأثیری در گذار ذره بین حالتها نداشته و تنها این نوفه است که ذره را از یک حالت به حالت دیگر می‌اندازد. اگرچه به دلیل افزایش نیروی تصادفی بر ذره، تعداد گذارها در طول یک دوره تناوب افزایش یافته است اما در این شدت، همگام شدن نوفه با سیگنال که در شکل ۵-ب پدیدار شده بود، از بین رفته است.

شکل ۵. ج نمودار $x(t)$ بر حسب t برای $D < D_{SR}$

می‌دهد (D_{SR}) با مشتق‌گیری از رابطه (۲) به صورت زیر به دست می‌آید.

$${}^4 W_k(D_{SR}) = \omega_s \left(\frac{\Delta V}{D_{SR}} - 1 \right). \quad (3)$$

لازم به ذکر است در یک شدت ثابت از نوفه، تغییر در دامنه نیروی تناوبی هیچ تأثیری در موقعیت قله نمودار ($\bar{x}(D)$) بر حسب D ایجاد نخواهد کرد. این مطالب را می‌توان به صورت کیفی با بررسی نمودارهای مربوط به $x(t) - t$ مشاهده نمود. در شکل ۵-الف، $D > D_{SR}$ بوده و همان‌طور که دیده می‌شود، ذره به این دلیل که شدت نوفه به اندازه کافی بزرگ نیست که بتواند آن را از حالت ۱ به حالت ۲ و بالعکس منتقل کند، مدت زمان زیادی را در یکی از حالت‌های ۱ یا ۲ سپری می‌کند. در شکل ۵-ب، شدت نوفه به گونه‌ای تنظیم شده است که گذار ذره بین دو حالت ۱ و ۲ به صورت تناوبی اتفاق

۳. نوفه بلند برد گوسی

قبل از این که به بررسی تشید تصادفی با نوفه بلند برد گوسی پردازیم، به نحوه تولید آن به صورت تجربی و محاسباتی اشاره می‌کنیم. به صورت تجربی، نوفه بلند برد را می‌توان با عبور دادن نوفه سفید از یک سری فیلترهای خاص تولید کرد. این فیلترها دارای این خاصیت هستند که یک سری از فرکانس‌های خاص را از خود عبور می‌دهند و بسته به این که چه میزانی از فرکانسها را از خود عبور داده اند، همبستگی نوفه خارج شده متفاوت خواهد بود. در برق و مخابرات از نوفه برای تحلیل سیگنالهای سیستم استفاده می‌کنند. در [۱۴] مدلی ارائه شده است که طی آن تنها به تولید نوفه بلند برد

۳- تبدیل فوریه معکوس η_q را محاسبه کرده و η_i را به دست می‌آوریم. این عبارت در فضای حقیقی با تابع همبستگی توانی خواسته شده در رابطه^(۴) معادل است [۱۵].

۴. محاسبات و نتایج

علاقمندی ما برای استفاده از روش FFM از اینجا ناشی می‌شود که معادله فوکر پلانک را برای نویه گوسی $\frac{1}{\beta}$ و $1 \leq \beta \leq f$ نمی‌توان به دست آورد و بنابراین یک رابطه تحلیلی دقیق برای نرخ گذار ذره و میانگین $(t)x$ در داخل این چاه پتانسیل با نویه بلند برد گوسی نداریم. البته در [۱۱] با استفاده از تئوری زنجیره مؤثر مارکوف [۱۶ و ۱۷] رابطه‌ای تقریباً تحلیلی برای معادله فوکر پلانک برای نویه همبسته ارائه شده است.

مسئله‌ای که ما به آن می‌پردازیم، بررسی تشدید تصادفی با نویه گوسی $\frac{1}{\beta}$ و مقایسه نتایج به دست آمده با استفاده مدل ارائه شده در [۱۱] است. می‌خواهیم ببینیم که نویه همبسته با رفتار توانی در تشدید تصادفی چه اثری می‌تواند داشته باشد.

همان طور که در قسمت قبل مشاهده شد، یکی از راههای تعیین D_{SR} برای ایجاد تشدید تصادفی با نویه سفید، بررسی رفتار دامنه میانگین $(t)x$ بر حسب شدت‌های مختلف نویه می‌باشد. البته روش‌های دیگری هم برای این منظور وجود دارد (مثل بررسی رفتار تابع SNR^۲ [۱۱ و ۱۳]), که در این مقاله به این موضوع پرداخته نمی‌شود.

اگر به بررسی رفتار میانگین $(t)x$ ذره در سیستم دوپایا با نویه بلند برد گوسی بپردازیم، مشاهده می‌کنیم که میانگین $(t)x$ در ابتدا یک حالت گذرا دارد و با گذشت زمان به صورت تناوبی تغییر می‌کند (شکل ۶).

اگر حد مجانبی میانگین $(t)x$ را برای نویه بلند برد گوسی در نظر بگیریم (یعنی از قسمت گذرا نمودار صرف نظر کنیم) به خوبی دیده می‌شود که رفتاری کاملاً شبیه با میانگین $(t)x$ برای نویه سفید دارد. پس معقول است که از دامنه میانگین x ، برای تعیین D_{SR} نویه گوسی $\frac{1}{\beta}$ استفاده کنیم.

^f به صورت تحلیلی پرداخته شده است. در مرجع [۱۱] هم براساس مرجع [۱۴] مدلی دیگر برای تولید نویه همبسته معروفی و سپس با استفاده از آن به بررسی تشدید تصادفی با استفاده از تقریب‌های گوناگون در سیستم دوپایا می‌پردازد. اما به صورت محاسباتی، یکی از روشهایی که برای تولید نویه بلند برد با رفتار توانی بیشتر مورد استفاده قرار می‌گیرد روش فیلتر کردن فوریه^۱ است. این روش شامل فیلتر کردن مولفه‌های فوریه از یک رشته غیر همبسته از اعداد تصادفی با فیلتر توانی مناسب به منظور وارد کردن همبستگی بین متغیرها است.

۱۰. روش فیلتر کردن فوریه

اعداد u_i و $u_j = 1, 2, \dots$ را در نظر بگیرید که همبستگی خاصی ندارند. تابع همبستگی عبارت است از $\langle u_i u_{i+1} \rangle \sim \delta_I$ که δ_I دلتای کرونکر است. هدف این است که با استفاده از u_i ‌ها اعداد η_j را با تابع همبستگی توانی بلند برد، $C(I)$ ، به صورت زیر تولید کنیم.

$$(4) C(I) = \langle \eta_i \eta_{i+1} \rangle \sim I^{-\gamma},$$

که γ نمای همبستگی است و همبستگی‌های بلند برد، به بازه $1 < \gamma < 0$ مربوط می‌شوند. $S(q)$ را به عنوان تبدیل فوریه $C(I)$ تعریف می‌کنیم که شکل مجانبی آن عبارت است از:

$$(5) S(q) = \langle \eta_q \eta_{-q} \rangle \sim q^{\gamma-1} = q^{-\beta} \quad q \rightarrow 0.$$

در این رابطه η_q تبدیل فوریه u_i است و در رابطه زیر صدق می‌کند.

$$(6) \eta_q = [S(q)]^{1/2} u_q,$$

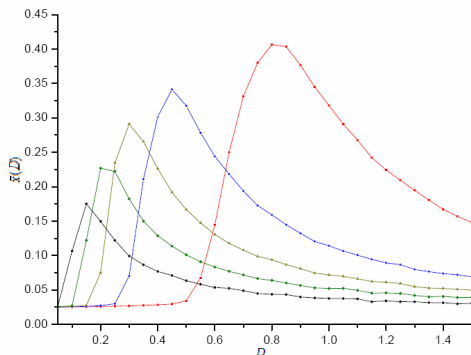
u_q ‌ها ضرایب تبدیل فوریه u_i ‌ها هستند.

۲۰. الگوریتم عددی FFM

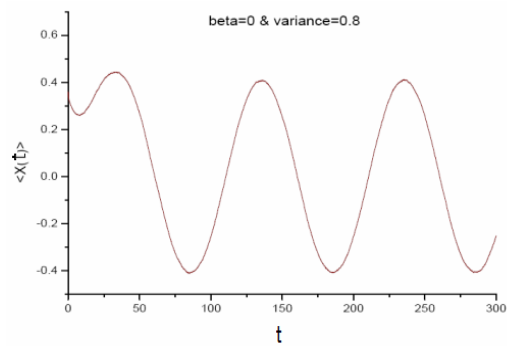
- عبارت یک بعدی u_i که اعداد تصادفی غیر همبسته با توزیع گوسی و میانگین صفر هستند را تولید کرده، ضرایب تبدیلات فوریه u_q را محاسبه می‌کنیم.
- از دو رابطه (۵) و (۶) استفاده می‌کنیم.

۱. Fourier Filtering Method (FFM)

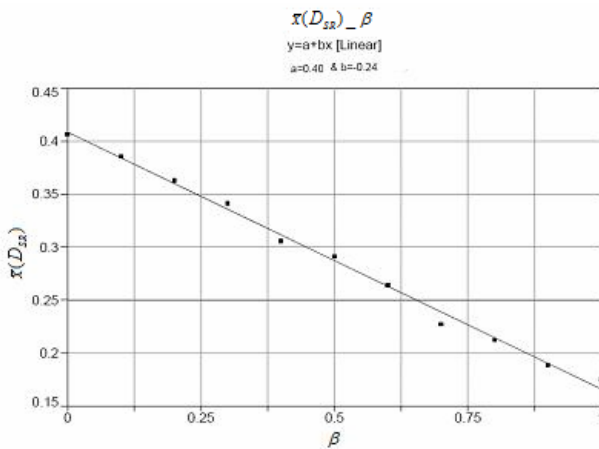
۲ Signal to Noise Ratio



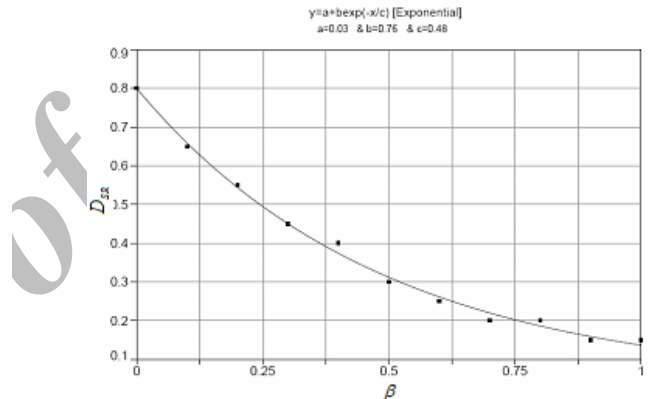
شکل ۷. نمودار (D) بر حسب شدت نوفه برای نوفه بلند برد گوسی، پتانسیل $V(x) = x^4 - 2x^3$ و نیروی تناوبی $A_s \sin(\omega_s t)$ با دامنه $\beta = 0.2$ به ازای $\omega_s = \frac{2\pi}{100}$.



شکل ۶. نمودار میانگین $x(t)$ بر حسب t با نوفه بلند برد گوسی برای $\beta = 0.2$ و $A_s \sin(\omega_s t)$ و $V(x) = x^4 - 2x^3$ و $\omega_s = \frac{2\pi}{100}$.



شکل ۹. نمودار β بر حسب دامنه تشید.



شکل ۸. نمودار β بر حسب D_{SR} .

(شکل ۹) این نتیجه را می‌دهد که همبستگی نوفه با دامنه تشید رابطه‌ای تقریباً خطی دارد.

نکته دیگر این که، برای نوفه گوسی $f(x) = \frac{1}{\beta} e^{-\frac{x-\mu}{\beta}}$ مشابه نوفه سفید، تغییر دامنه نیروی تناوبی هیچ تأثیری در محل قله در نمودار $\bar{x}(D) - D$ نخواهد داشت (شکل ۱۰).

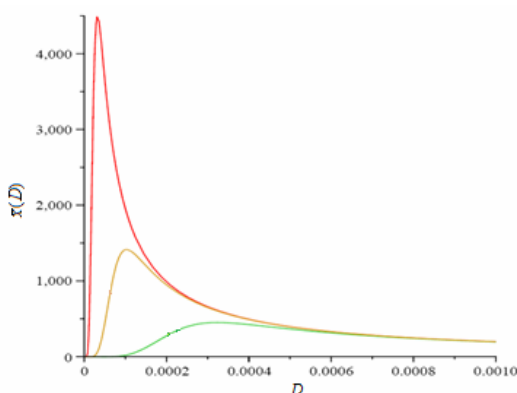
اکنون به بررسی تشید تصادفی با استفاده از مدلی که در [۱۱] ارائه شده است می‌پردازیم. نقطه شروع برای بررسی تشید تصادفی در این روش دو معادله زیر است:

$$\dot{x} = f(x) + y(t), \quad (7)$$

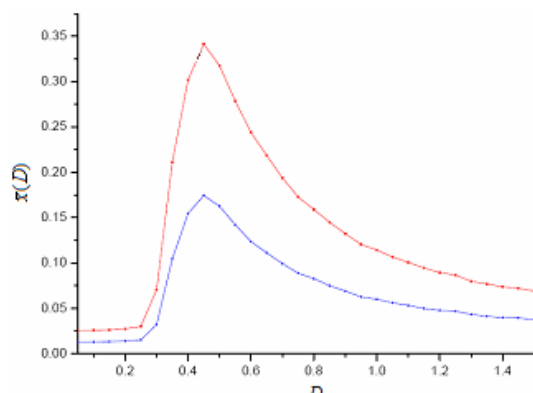
$$\dot{y} = \frac{u(y)}{\tau} + \frac{D}{\tau} v(y) \xi(t), \quad (8)$$

نتیجه محاسبات نشان می‌دهد که اگر نمای β را افزایش دهیم، موقعیت قله نمودار به سمت شدتها کم جا به جا می‌شود (شکل ۷). بدین معنا که هرچه میزان همبستگی نوفه افزایش یابد (افزایش β) شدت لازم برای نوفه، که بتواند تشید تصادفی ایجاد کند کاهش می‌یابد. بنابراین حتی می‌توان با استفاده از یک نوفه بلند برد مناسب با شدت کم تشید تصادفی ایجاد نمود. وضعیت واریانس تشید (D_{SR}) به ازای β های مختلف در شکل (۸) زیر رسم شده است.

با برآورده شکل ۸ این نتیجه به دست می‌آید که همبستگی نوفه با D_{SR} رابطه نمایی دارد. که از این رابطه می‌توان D_{SR} را به ازای هر مقدار دلخواهی از β به طور تقریبی به دست آورد. همچنین برآورده شکل ۹ نمودار دامنه تشید بر حسب β



شکل ۱۱. نمودار $(D)\bar{x}$ بر حسب شدت نوفه برای نوفه بلند برد رابطه (۸) به ازای $\mu = 0/75, 1/5, 2/5$ (به ترتیب از چپ به راست).



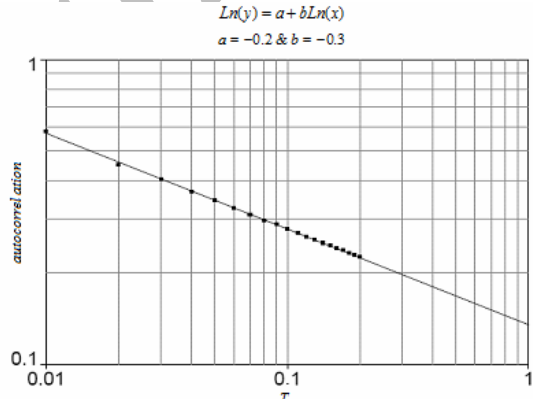
شکل ۱۰. نمودار $(D)\bar{x}$ بر حسب شدت نوفه برای نوفه بلند برد گوسی، پتانسیل $V(x) = x^4 - 2x^2$ و نیروی تناوبی $A_0 \sin(\omega_s t)$ با دامنه‌های $A_0 = 0/1$ (نمودار بالا) و $A_0 = 0/2$ (نمودار پایین) و $\omega_s = \frac{2\pi}{100}$ به ازای $\beta = 0/3$.

در این روابط α و β ضرایب ثابت دلخواه و C و M ضرایب ثابت مثبت هستند. که در آن به ازای $\mu = 2/5, 1/5, 0/75$ ، $\beta = 1, 0/75$ به دست می‌آید [۱۱ و ۱۲]. در این روش با استفاده از زنجیره موثر مارکوف و تقریب دوحلانی برای دامنه میانگین نمودار شکل ۱۱ را به دست می‌آوریم.

با توجه به شکل ۱۱ با افزایش M (یا افزایش β) شدت تشدید افزایش (عکس نتیجه) به دست آمده از نوفه همبسته پلندبرد با رفتار توانی) و دامنه تشدید کاهش می‌یابد.

اکنون به بررسی خود همبستگی نوفه به کار برده شده در هر دو روش می‌پردازیم. در مورد نوفه بلند برد، خود همبستگی به صورت رابطه (۵) است. بنابراین انتظار داریم که شب نمودار خود همبستگی بر حسب لگاریتم β برابر با $-1 - \beta$ باشد (شکل ۱۲). در حالی که نمودار خود همبستگی نوفه به دست آمده از رابطه (۸) به ازای $\mu = 0/5$ به صورت شکل ۱۳ است. در این نمودار به وضوح مشخص است که رفتار توانی وجود ندارد. بنابراین نوفه به دست آمده از الگوریتم FFM دقیقاً رفتار توانی داشته و دلیلی ندارد که نتیجه به دست آمده در مورد تغییرات همبستگی با شدت تشدید با نوفه به دست آمده از رابطه (۸) یکسان باشد.

در پایان، نمودارهای $x(t)$ به ازای $\beta = 0/3$ و برای $D > D_{SR}$ و $D \leq D_{SR}$ در شکل ۱۴ رسم شده است.

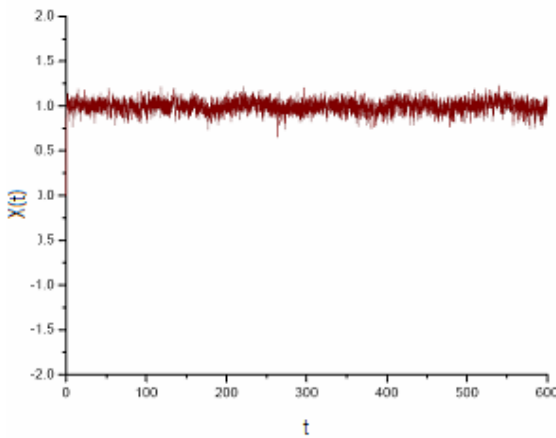


شکل ۱۲. نمودار خود همبستگی نوفه بلند برد گوسی با رفتار توانی به ازای $\beta = 0/7$.

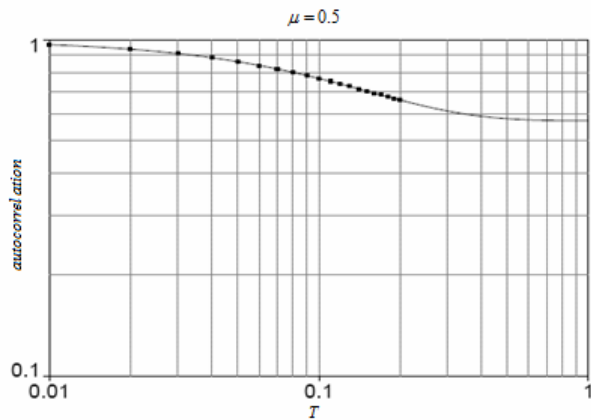
که معادله (۷) مربوط به تغییرات مکان ذره در چاه پتانسیل و معادله (۸) هم همان معادله معروف لانژون است. در این روابط $U_0(x) = \int_x^\infty f(z) dz = \frac{x^4}{4} - \frac{x^2}{2}$ ، t نوفه سفید و τ هم گسترش زمانی است. در معادله (۸) هم یک پتانسیل جدید به صورت $V(y) = - \int_y^\infty u(x) dx$ در نظر گرفته شده است. در اینجا با توجه به در نظر گرفتن روابط زیر برای $(y) u$ و $v(y)$ ، مقادیر به دست آمده از معادله دوم را به عنوان نوفه مورد نظر در رابطه اول مورد استفاده قرار می‌دهد.

$$u(y) = \alpha y^3 - \beta y^4 + \text{sgn}(y) y^4, \quad (9)$$

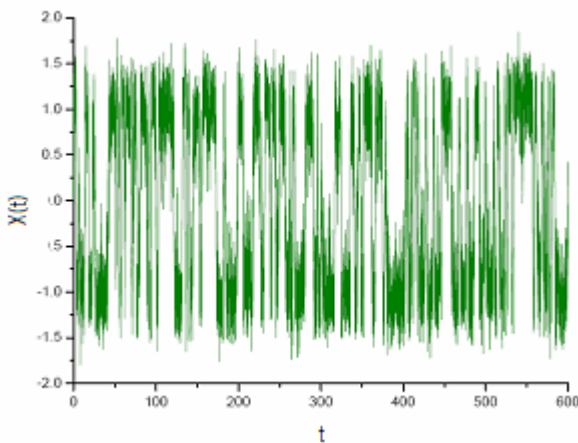
$$v(y) = |y|^\mu + c. \quad (10)$$



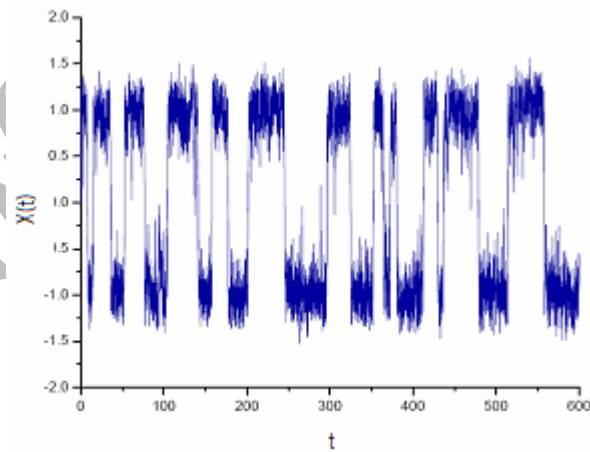
شکل ۱۴-الف. نمودار $x(t)$ بر حسب t برای $D > D_{SR}$ و $\beta = 0/2$



شکل ۱۴. نمودار خودهمبستگی نووفه بلند برد رابطه (۸) به ازای $\mu = 0.5$



شکل ۱۴-ج. نمودار $x(t)$ بر حسب t برای $D \leq D_{SR}$ و $\beta = 0/2$



شکل ۱۴-ب. نمودار $x(t)$ بر حسب t برای $D \leq D_{SR}$ و $\beta = 0/2$

این یک جنبه منفی برای تشدید تصادفی با نووفه بلند برد گوسی در نظر گرفته شود که می‌توان این کاهش میانگین دامنه را با افزایش دامنه نیروی تناوبی ضعیف جبران کرد. در پایان بررسی تشدید تصادفی با نووفه q گوسی را به عنوان یک مسئله قابل بررسی پیشنهاد می‌کیم. که در این نوع نووفه تغییرات q باعث تغییرتابع توزیع نووفه، از گوسی ($q=1$) به توزیع یکنواخت ($q \rightarrow \infty$) می‌شود [۱۹].

قدرتانی

از آقای مهدی دهقانی به خاطر راهنماییهای ایشان تشکر می‌شود.

۵. نتیجه‌گیری

از بررسی نمودارهای به دست آمده نتیجه می‌شود که افزایش همبستگی نووفه بلند برد گوسی با رفتار توانی باعث بهبود تشدید تصادفی می‌شود، به عبارت دیگر شدتی که برای ایجاد تشدید تصادفی لازم است، کاهش می‌یابد. این در حالی است که رفتار توانی نووفه در شدت تشدید ایجاد شده، اهمیت دارد. به طوری که برای نووفهای همبسته، ولی بدون رفتار توانی همان طور که [۱۱و۱۷] نشان داده شده است با افزایش همبستگی، شدت تشدید افزایش می‌یابد. از طرفی افزایش همبستگی باعث کاهش دامنه میانگین (t) می‌شود. ممکن است

مراجع

10. Daichi Nozaki, James J Collins, and Yoshiharu Yamamoto, *Phys. Rev. E* **60** (1999).
11. M A Fuentes, H S Wio, *Eur. Phys. J. B* **52** (2006) 249.
12. H Kramers, *Physical* (Utrecht) **7** (1940) 284.
13. L Gammaitoni, P Hanggi, P Jung, F Marchesoni, *Rev. Mod. Phys.* **70** (1990) 1.
14. B Kaulakys, J Ruseckas, *Phys. Rev. E* **70** (2004) 020101.
15. H A Maks, S Havlin., M Schwartz. And H E Stanley *Phys. Rev. E* **53** (1996).
16. H S Wio, P Colet, L Pesquera, M A Rodringuez, M. San Miguel, *Phys. Rev. A* **40** (1989) 7312.
17. P Jung, P Hanggi, *Phys. Rev. A* **35** (1987) 4464.
18. C W Gardiner, *Handbook of Stochastic Method for Physics, Chemistry and Natural Sciences*, Springer-Verlag, Berlin (1985)
19. W Thistleton, J A Marsh, K Nelson, C Tsallis, cond-mat/0605570.
1. R Benzi, A Sutera and A Vulpian, *J. Phys. A* **14** (1981) L453.
2. A Simon and A Libchaber, *Phys. Rev. Lett.* **68** (1992) 3375.
3. L Gammaitoni, M Martinelli, L Pardi and Santucci, *Phys. Rev. Lett.* **67** (1991) 1799.
4. S M Berzukov and I Vodyanoy, *Nature* **378** (1995) 363.
5. A L Goldberger, D R Rigney and B J West, *Sci. Am.* **262** (1990) 34; J B Bassingthwaigte, L S Lievovitch and B J West, *Fractal Physiology*, Oxford University Press, New York (1994).
6. Y Yamamoto and R L Hughson, *Physica D* **68** (1993) 250.
7. M A Fuentes, R Toral, H S Wio, *Physica A* **295** (2001) 114.
8. Peter Marka, Zoltan Gingl, Tamas Fulei, *Phys. Lett. A* **317** (2003) 228.
9. Daichi Nozaki, Yoshiharu Yamamoto, *Phys. Lett. A* **243** (1998).